

การออกแบบของรัฐบาลเสียงคลาสตีร่วมกับคลาสเอ



นาย จักรกฤษณ์ เคลื่อบัง

ศูนย์วิทยทรัพยากร
อุทยล์ครุรุ่งมหาภัย
วิทยานิพนธ์นี้เป็นส่วนหนึ่งของการศึกษาตามหลักสูตรปริญญาวิศวกรรมศาสตรมหาบัณฑิต
สาขาวิชาชีวกรรมไฟฟ้า ภาควิชาชีวกรรมไฟฟ้า
คณะวิศวกรรมศาสตร์ จุฬาลงกรณ์มหาวิทยาลัย
ปีการศึกษา 2547
ISBN 974-17-5942-8
ลิขสิทธิ์ของจุฬาลงกรณ์มหาวิทยาลัย

DESIGN OF A CLASS-D ACCOMPANIED BY CLASS-A AUDIO POWER AMPLIFIER

Mr. Jukkrit Kluabwang

ศูนย์วิทยบรังษย
จุฬาลงกรณ์มหาวิทยาลัย
A Thesis Submitted in Partial Fulfillment of the Requirements
for the Degree of Master of Engineering in Electrical Engineering

Department of Electrical Engineering

Faculty of Engineering

Chulalongkorn University

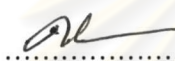
Academic Year 2004

ISBN 974-17-5942-8

หัวข้อวิทยานิพนธ์
โดย
สาขาวิชา
อาจารย์ที่ปรึกษา

การออกแบบของเรื่องเสียงคลาสตีร์ร่วมกับคลาสเอ
นาย จักรกฤษณ์ เคลือบวงศ์
วิศวกรรมไฟฟ้า
ผู้ช่วยศาสตราจารย์ เจิดกุล โสภานนิตย์

คณะกรรมการค่าครองชีพ จุฬาลงกรณ์มหาวิทยาลัย อนุมัติให้นับวิทยานิพนธ์ฉบับนี้เป็นส่วน
หนึ่งของการศึกษาตามหลักสูตรปริญญามหาบัณฑิต

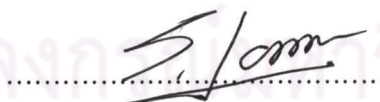
  คณบดีคณะวิศวกรรมศาสตร์
(ศาสตราจารย์ ดร. ดิเรก ลาวันய์คิท)

คณะกรรมการสอบวิทยานิพนธ์

 ประธานกรรมการ
(รองศาสตราจารย์ ดร. ยุทธนา กุลวิทิต)

 อาจารย์ที่ปรึกษา
(ผู้ช่วยศาสตราจารย์ เจิดกุล โสภานนิตย์)

 กรรมการ
(อาจารย์ สุวิทย์ นาคพีระยุทธ)

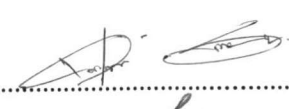
 กรรมการ
(อาจารย์ ดร. สมนูรัน แสงวงศ์วานิชย์)

จักรกฤษณ์ เกลือบวัง : การออกแบบวงจรขยายเสียงคลาสดีร่วมกับคลาสเอ. (DESIGN OF A CLASS-D ACCOMPANIED BY CLASS-A AUDIO POWER AMPLIFIER)

อ. ที่ปรึกษา : พศ. เจตคุณ โสภานนิตย์, 80 หน้า. ISBN 974-17-5942-8.

การใช้วงจรขยายคลาสเอชดซีแรงดันผิดเพี้ยนของวงจรขยายคลาสดีสามารถลดค่าความเพี้ยนเชิงชาร์มอนิกรวยของวงจรขยายคลาสดีได้ วิทยานิพนธ์นี้เสนอแนวคิดใหม่ในการปรับปรุงคุณภาพแรงดันด้านออกของวงจรขยายคลาสดีให้มีค่าความเพี้ยนเชิงชาร์มอนิกรวยที่ต่ำลงโดยประยุกต์โครงสร้างการต่อร่วมวงจรขยายสองวงจรเข้าด้วยกันแบบแรงดัน วงจรขยายคลาสดีจะทำหน้าที่หลักในการขยายสัญญาณ ส่วนวงจรขยายคลาสเอทำหน้าที่ขยายสัญญาณผิดเพี้ยนจากวงจรขยายคลาสดี ผลต่างของแรงดันทั้งสองจะเป็นแรงดันด้านออกที่ต่อกันโดยไม่ต้องมีโหลด วงจรขยายคลาสดีร่วมกับคลาสเอที่ทำการออกแบบมีกำลังออกสูงสุด 100W บนวิดท์ 20Hz-20.5kHz ผลการทดสอบการทำงานแสดงให้เห็นว่างจรขยายนี้มีค่าความเพี้ยนเชิงชาร์มอนิกรวย 0.15% และประสิทธิภาพ 61.07% (ที่ความถี่หลักมูล 1kHz, ความถี่การสวิตช์ 80kHz, กำลังด้านออก 100W และโหลดตัวค้านทาน 8Ω)

ศูนย์วิทยทรัพยากร จุฬาลงกรณ์มหาวิทยาลัย

ภาควิชา.....	วิศวกรรมไฟฟ้า.....	ลายมือชื่อนิสิต.....	
สาขาวิชา.....	วิศวกรรมไฟฟ้า.....	ลายมือชื่ออาจารย์ที่ปรึกษา.....	
ปีการศึกษา.....	2547.....		

4470243121 : MAJOR POWER ELECTRONICS

KEYWORD: CLASS-D AUDIO POWER AMPLIFIER / CLASS-A POWER AMPLIFIER /
ERROR DETECTOR

JUKKRIT KLUABWANG: DESIGN OF A CLASS-D ACCOMPANIED BY CLASS-A
AUDIO POWER AMPLIFIER. THESIS ADVISOR : ASST. PROF. CHERDKUL
SOPAVANIT, 80 pp. ISBN 974-17-5942-8.

THD (Total Harmonic Distortion) of a class-D audio power amplifier is reduced by compensation of its output error using a class-A power amplifier. The key concept of the solution proposed is the combination between two amplifiers in voltage mode to produce the desired output voltage. One class-D audio power amplifier operates as the primary amplifier producing the main voltage for the load, and the other class-A audio power amplifier behaves as the secondary amplifier to amplify the class-D output voltage error for compensation and is connected to the other side of the load. The difference between their output voltage (class-D and class-A) is the output voltage of the proposed amplifier called class-D&A. The class-D&A audio power amplifier in this thesis is designed for 100W maximum output power and a 20Hz-20.5kHz bandwidth. Experimental results indicate that THD of the proposed amplifier is about 0.15% and its efficiency is 61.07% (at 1kHz fundamental frequency, .80kHz switching frequency, ., output power 100W and 8 Ω resistive load)

คุณยศวิทยากร
จุฬาลงกรณ์มหาวิทยาลัย

Department..... ELECTRICAL ENGINEERING..... Student's signature.....

 Field of study..... ELECTRICAL ENGINEERING..... Advisor's signature.....

 Academic year..... 2004.....

กิตติกรรมประกาศ

วิทยานิพนธ์ฉบับนี้สำเร็จลุล่วงไปได้ด้วยความช่วยเหลือและความเอาใจใส่อย่างดี
ยิ่งของผู้ช่วยศาสตราจารย์ เจตคุณ ไสภานนิตย์ อาจารย์ที่ปรึกษาวิทยานิพนธ์ ผู้ที่ให้คำแนะนำ
ตลอดจนความช่วยเหลือด้านต่าง ๆ ที่เป็นประโยชน์ต่อการทำวิจัยตลอดมา รวมทั้ง รอง
ศาสตราจารย์ ดร. ยุทธนา กุลวิทิต และ อาจารย์ ดร. สมบูรณ์ แสงวงศ์วานิชย์ ที่ได้ให้คำแนะนำที่
เป็นประโยชน์ ในงานวิจัยและการดำเนินชีวิต ขอขอบคุณสถาบันเทคโนโลยีราชมงคลที่ได้สนับสนุน
และโอกาสทางการศึกษาสำหรับข้าพเจ้า และขอบคุณวันเวลาที่ทำให้ข้าพเจ้าได้มารู้จักกับพี่ ๆ
เพื่อน ๆ น้อง ๆ ที่ดี ๆ ของห้องวิจัยอิเล็กทรอนิกส์แห่งนี้

นอกจากนี้ต้องขอบพระคุณ รองศาสตราจารย์ ดร.เอกชัย ลีลาธรรมี ที่อนุเคราะห์
เครื่องวัดสัญญาณพลวัต (Dynamic Signal Analyzer) Agilent 35670A สำหรับมาวัดค่า THD
สุดท้ายนี้ข้าพเจ้าขอกราบขอบพระคุณบิค่า มารดา ของข้าพเจ้า ผู้ซึ่งเคยให้กำลัง^{ก้าว}
ใจและให้การสนับสนุนในทุกด้านด้วยดีเสมอมา

**ศูนย์วิทยทรัพยากร
จุฬาลงกรณ์มหาวิทยาลัย**

สารบัญ

หน้า

บทคัดย่อภาษาไทย.....	๑
บทคัดย่อภาษาอังกฤษ.....	๑
กิตติกรรมประกาศ.....	๒
สารบัญ.....	๓
สารบัญตาราง.....	๓
สารบัญภาพ.....	๔
รายการสัญลักษณ์.....	๔

บทที่

1 บทนำ.....	1
2 ทฤษฎี.....	4
3 การออกแบบ.....	24
4 ผลการทดสอบระบบ.....	51
5 บทสรุปและข้อเสนอแนะ.....	71
รายการอ้างอิง.....	72
ภาคผนวก.....	73
ประวัติผู้เขียนวิทยานิพนธ์.....	80

ศูนย์วิทยทรัพยากร จุฬาลงกรณ์มหาวิทยาลัย

สารบัญตาราง

ตารางที่	หน้า
2.1 ค่าสัมพัทธ์ของชาร์มอนิกของรูปคลื่น PWM ที่มีการสวิตช์แรงดันแบบ 2 ขั้ว เมื่อเทียบกับแอนเพลจิจุคของรูปคลื่น	8
3.1 ผลการจำลองเพื่อศึกษาความสัมพันธ์ระหว่างเวลาพักต่ออัตราขยายและ สัญญาณผิดเพี้ยน ของวงจรขยายคลาสดี.....	42
3.2 ผลการจำลองเพื่อศึกษาความสัมพันธ์ระหว่างความถี่การสวิตช์ต่ออัตราขยายและสัญญาณ ผิดเพี้ยน ของวงจรขยายคลาสดี ที่ความถี่ 1kHz และ 20kHz	43
3.3 ผลการคำนวณการสูญเสียในการสวิตช์ของวงจรขยายคลาสดีและการสูญเสีย ในวงจรขยายคลาสเอ ที่ความถี่การสวิตช์ต่าง ๆ	46
3.4 ขนาดของชาร์มอนิก และค่า THD ณ ความถี่การสวิตช์ต่าง ๆ ที่เวลาพัก 0.8%	48
4.1 คุณสมบัติพื้นฐานของวงจรขยายคลาสดีร่วมกับคลาสเอ	59
4.2 ผลการทดลองเพื่อศึกษาความสัมพันธ์ระหว่างความถี่การสวิตช์กับขนาดของ สัญญาณผิดเพี้ยน	63
4.3 ผลการจำลองและผลการทดลองเพื่อศึกษาความสัมพันธ์ระหว่างเวลาพักกับขนาดของ สัญญาณผิดเพี้ยน	65

**ศูนย์วิทยทรัพยากร
จุฬาลงกรณ์มหาวิทยาลัย**

สารบัญภาพ

รูปที่	หน้า
2.1 ภาพรวมวงจรขยายในงานวิจัยนี้	2
2.2 โครงสร้างพื้นฐานของวงจรขยายเสียง	4
2.3 โครงสร้างพื้นฐานของวงจรขยายคลาสดี	5
2.4 วงจรกึ่งบริค์และลักษณะสติต	5
2.5 วงจรPWMที่ใช้การสวิตช์แรงดันแบบสองขั้วและสเตปเกตรัม	7
2.6 ช่วงการทำงานของอินเวอร์เตอร์กึ่งบริค์	10
2.7 วงจรกรองผ่านตัว LC	12
2.8 เส้นไกล์เคียงขนาดของฟังก์ชันโอนข่าย $ G $ ที่มีสองขั้ว	15
2.9 กราฟผลตอบเชิงความถี่ของระบบ G ที่มีค่า Q ต่างๆ	16
2.10 บล็อกไซโอดะแกรมวงจรขยายคลาสเอ	17
2.11 วงจรขยายไม่กลับเฟส	18
2.12 วงจรขยายกลับเฟส	18
2.13 กราฟของอัตราขยายกระแส β และแรงดัน $V_{CE(sat)}$ ของทรานซิสเตอร์ BJT ในฟังก์ชันของกระแสออกเล็กเตอร์ I_C	20
2.14 ทรานซิสเตอร์คู่คาร์ลิงตัน	20
2.15 วงจรพุชพุลที่ใช้ทรานซิสเตอร์ BJT	21
2.16 แบบจำลองการป้อนกลับแบบลบ	22
3.1 วงจรกำเนิดสัญญาณนาฬิกา	24
3.2 วงจรสร้างสัญญาณสามเหลี่ยม	26
3.3 วงจรอินทิเกรทที่ใช้จำลอง	27
3.4 วงจรmonitorความกว้างพัลส์	28
3.5 วงรับขับนำเกต รูปคลื่นสัญญาณ PWM HIN และLIN	29
3.6 วงจรสวิตช์กำลังของอินเวอร์เตอร์	29
3.7 วงรับเชื่อมโยงผ่านแสง (Optocoupler)	30
3.8 ระบบกราวด์ทั้งหมดของวงจรขยายที่เสนอ	31
3.9 วงจรกรองผ่านตัวที่ออกแบบได้	32
3.10 กราฟผลตอบเชิงความถี่ของวงจรกรองผ่านตัวที่ออกแบบได้	32
3.11 ส่วนการตรวจจับสัญญาณผิดเพี้ยน	33

สารบัญภาพ (ต่อ)

รูปที่	หน้า
3.12 วงจรขยายความต่าง	33
3.13 วงจรกรองผ่านต่ำ RC อันดับสอง แบบไวยาง	34
3.14 วงจรอาร์จิบสัญญาณผิดเพี้ยน	35
3.15 ส่วนปรับอัตราขยาย (Voltage gain adjust)	37
3.16 ส่วนสวิตช์กำลัง	37
3.17 รูปวงจรขยายคลาสดีที่ใช้ในการจำลองการทำงานด้วยโปรแกรม PSIM 4.1	39
3.18 รูปคลื่นแรงดันด้านเข้า แรงดันด้านออก และแรงดันผิดเพี้ยน จากการจำลอง	39
3.19 สัญญาณในแกนความถี่ของรูปคลื่น ในรูปที่ 3.19	41
3.20 เวลาพักและขนาดสัญญาณผิดเพี้ยน	42
3.21 ความถี่การสวิตช์และขนาดสัญญาณผิดเพี้ยน	44
3.22 ความถี่การสวิตช์กับการสูญเสียในการสวิตช์และการสูญเสียในคลาสเอ	47
3.23 ความถี่การสวิตช์ กับ THD วงจรขยายคลาสดีจากการจำลอง ที่เวลาพักต่าง ๆ	48
3.24 รูปวงจรขยายคลาสเอที่ใช้ในการจำลองการทำงานด้วยโปรแกรม Orcad 9.1	49
3.25 ผลการจำลองวงจรขยายคลาสเอที่ความถี่ 1kHz ขนาด 1Vp	49
3.26 ผลการจำลองวงจรขยายคลาสเอที่ความถี่ 20kHz ขนาด 1Vp	50
3.27 ผลการจำลองวงจรขยายคลาสเอที่ความถี่ 20Hz ขนาด 1Vp	50
4.1 เครื่องมือที่ใช้ในการวัดความเพี้ยนเชิงชาร์มอนิกรุ่นและประสิทธิภาพ	51
4.2 ความเพี้ยนเชิงชาร์มอนิกรุ่นของวงจรขยายคลาสดี คลาสดีร่วมกับคลาสเอและคลาสเอ ที่ความถี่ 1kHz แก่นอนเป็นกำลังด้านออก Po ต่อกำลังด้านออกสูงสุด Po(max).....	52
4.3 ค่าความเพี้ยนเชิงชาร์มอนิกรุ่นในย่านความถี่เสียง 20Hz ถึง 20kHz ที่กำลังด้านออก 100วัตต์	53
4.4 ค่าความเพี้ยนเชิงชาร์มอนิกรุ่นในย่านความถี่เสียง 20Hz ถึง 20kHz ที่กำลังด้านออก 50วัตต์	53
4.5 ค่าความเพี้ยนเชิงชาร์มอนิกรุ่นในย่านความถี่เสียง 20Hz ถึง 20kHz ที่กำลังด้านออก 10วัตต์	54
4.6 ค่าความเพี้ยนเชิงชาร์มอนิกรุ่นในย่านความถี่เสียง 20Hz ถึง 20kHz ที่กำลังด้านออก 2วัตต์	54
4.7 ประสิทธิภาพของวงจรขยายคลาสดี และวงจรขยายคลาสดีร่วมกับคลาสเอ ที่กำลังด้านออก 1วัตต์ ถึง 100วัตต์ ณ ความถี่ 1kHz	56

สารบัญภาพ (ต่อ)

รูปที่	หน้า
4.8 ประสิทธิภาพของวงจรขยายคลาสดี วงจรขยายคลาสดีร่วมกับคลาสเอ และวงจรขยายคลาสเอแกนน่อนเทียบกำลังค้านออก Po ต่อกำลังออกสูงสุด Po(max)	57
4.9 ประสิทธิภาพในย่านความถี่เสียง 20kHz ถึง 20kHz ที่กำลังค้านออก 100วัตต์.....	58
4.10 ประสิทธิภาพในย่านความถี่เสียง 20kHz ถึง 20kHz ที่กำลังค้านออก 10วัตต์.....	58
4.11 รูปคลื่นของวงจรขยายคลาสดีร่วมกับคลาสเอ ที่กำลังค้านออก ความถี่ 1kHz	59
4.12 รูปคลื่นของวงจรขยายคลาสดีร่วมกับคลาสเอ ที่กำลังค้านออก ความถี่ 10kHz	60
4.13 รูปคลื่นของวงจรขยายคลาสดีร่วมกับคลาสเอ ที่กำลังค้านออก ความถี่ 100Hz	61
4.14 รูปคลื่นแรงดันค้านเข้าและค้านออกของวงจรขยายคลาสดีร่วมกับคลาสเอ	61
4.15 ผลตอบเชิงความถี่ของวงจรขยายคลาสดีร่วมกับคลาสเอ ที่กำลังค้านออก 100วัตต์	62
4.16 กราฟความสัมพันธ์ระหว่างความถี่การสวิตช์และขนาดของสัญญาณผิดเพี้ยน	64
4.17 กราฟความสัมพันธ์ระหว่างเวลาพักและขนาดของสัญญาณผิดเพี้ยน	65
4.18 ความสัมพันธ์ระหว่างแรงดันค้านเข้าและแรงดันค้านออก ที่ความถี่ 1kHz	66
4.19 รูปคลื่นของวงจรขยายเสียงคลาสดีร่วมกับคลาสเอ ทดสอบด้วยสัญญาณเสียง	67
4.20 ความสัมพันธ์ระหว่างความถี่การสวิตช์กับค่าTHD จากการทดลอง	69
4.21 FFT ของวงจรขยายคลาสดี THD 1.622% (ก่อนการชดเชย)	70
4.22 FFT ของวงจรขยายคลาสดี THD 0.094% (หลังการชดเชย)	70
ก.1 วงจรที่ใช้ทดสอบเพื่อหาอินพิเดนซ์ของลำโพง	74
ก.2 รูปคลื่นแรงดันคร่อมลำโพงและการແສผ่านลำโพง	75
ก.3 อินพิเดนซ์ของลำโพงที่ได้จากการทดสอบ (Real) และจากแบบจำลอง (Model) R 8 Ω	76
ก.4 อินพิเดนซ์ของลำโพงหลังจากชดเชยด้วย วงกรอง zobel	76
ข.1 รูปคลื่นสัญญาณของวงจรขยายคลาสดีร่วมกับคลาสเอ ณ กำลังค้านออก 100วัตต์.....	77

จุฬาลงกรณ์มหาวิทยาลัย

รายการสัญลักษณ์

f_s	ความถี่การสวิตช์ที่เวลาideal
M	อัตราการแปลงผัน (แรงดัน) ของวงจรอินเวอร์เตอร์
Q	ตัวประกอบคุณภาพของวงจรกรองผ่านต่ำ (Quality factor)
P_{IN}	กำลังค้านออก (Input power)
P_{OUT}	กำลังค้านออก (Output power)
T	ค่าการสวิตช์ที่เวลาideal
A_v	อัตราขยายแรงดัน (Voltage gain)
β	อัตราขยายกระแสไฟตรงของทรานซิสเตอร์ (Current gain)
ς	ตัวประกอบการหน่วง (Damping factor)
η	ประสิทธิภาพ (Efficiency)
V_{IN}	แรงดันค้านเข้า (Input voltage)
V_O	แรงดันค้านออก (Output voltage)
V_{IN1}	แรงดันค้านเข้าที่ผ่านวงจรหน่วงเวลา
V_{att}	แรงดันค้านออกที่ผ่านวงจรลดทอน
V_{err}	แรงดันผิดเพี้ยนที่ได้จาก $V_{att} - V_{IN1}$
V_a	แรงดันค้านออกของวงจรขยายคลาสเอ
THD	ความเพี้ยนเชิงชาร์มนิกรรม (Total Harmonic Distortion)

**ศูนย์วิทยทรัพยากร
จุฬาลงกรณ์มหาวิทยาลัย**